

Gymnázium a střední odborná škola Mikulov  
příspěvková organizace



## **Stanovení parametru termočlánku pomocí metody nejmenších čtverců**

Seminární práce

Mikulov 2020

Autor: Adam Krška

Vedoucí: Mgr. Roman Pavlačka, Ph.D.



Prohlášení:

Prohlašuji, že jsem závěrečnou práci zpracoval samostatně. Souhlasím, aby moje práce byla archivována Gymnáziem a střední odbornou školou Mikulov, příspěvková organizace, případně použita pro další studijní účely.

.....

(podpis)

## Obsah

<b>1 Úvod</b>	<b>5</b>
<b>2 Cíl práce</b>	<b>5</b>
<b>3 Současný stav řešené problematiky</b>	<b>6</b>
3.1 Proložení dat funkcí . . . . .	6
3.1.1 Aproximace a interpolace . . . . .	6
3.1.2 Metoda nejmenších čtverců . . . . .	6
3.1.3 Lineární regrese . . . . .	8
3.2 Termoelektrický jev . . . . .	9
3.2.1 Efekty termoelektrické jevu . . . . .	9
3.2.2 Termočládky . . . . .	10
3.3 Experiment . . . . .	12
3.3.1 Princip měření . . . . .	12
3.3.2 Sestavení termočládku . . . . .	12
3.3.3 Aparatura a průběh experimentu . . . . .	12
<b>4 Výsledky</b>	<b>13</b>
4.1 Naměřená data . . . . .	13
4.2 Výpočet parametru . . . . .	13
4.3 Odchyłky měření . . . . .	13
4.4 Diskuze . . . . .	13
<b>5 Závěr</b>	<b>13</b>
<b>6 Souhrn (Resumé)</b>	<b>14</b>
6.1 Klíčová slova (Key words) . . . . .	14
<b>7 Seznam použité literatury</b>	<b>15</b>
<b>8 Přílohy</b>	<b>15</b>
8.1 Seznam obrázků . . . . .	15
8.2 Seznam tabulek . . . . .	15

## 1 Úvod

V dnešní době sbírají vědci (a nejen ti) velké množství dat, převážně potom díky rozmachu digitálních měřicích metod, které ve velké míře již nahradily měření analogová. U těch byla nevýhoda ručního zapisování dat a poté i ručního zpracování. Ovšem díky dnešním experimentálním metodám jsme schopni měřit mnohem přesně, vícekrát a s menší námahou. Tato naměřená data jsou dále zpracována pomocí počítačů, což práci zrychluje, zpřesňuje, zmenšuje pravděpodobnost lidské chyby v základních výpočtech a umožňuje zpracovat ono velké množství dat.

Data ovšem nejsou měřena bez nějakého účelu. Většinou se snažíme z dat najít nějakou tendenci, změřit hodnotu závislosti či zkusit predikovat pomocí trendu, jak by vypadala data dosud nezměřená. Tyto problémy umíme řešit pomocí prokládání dat matematickými funkcemi. Proložení dat funkcí<sup>1</sup> nám umožňuje ověřit, zda předpis naší funkce odpovídá naměřeným datům, vypočítat neznámý parametr předpisu (rozšířeno například při počítání různých koeficientů materiálů), nebo vyjádření závislé veličiny pro zatím neměřené vstupní hodnoty (např. predikce počtu nakažených nemocí).

Abychom mohli data proložit křivkou, musíme znát její parametry. A ty mohou být určeny pomocí metody nejmenších čtverců. Ovšem nemůžeme vytvářet křivky bez samotných dat.

Jak již bylo zmíněno, digitální měřicí přístroje nahrazují přístroje analogové. Aby toho ovšem mohli dosáhnout, musí být schopné vytvářet signál přijatelný počítačem, což je v velkém počtu případů změna napětí.

U měření teploty můžeme například využít termoelektrického jevu, jenž dělá přesně to, co potřebujeme: při změně teploty se mění výstupní napětí. To jsme schopni měřit a následně odvodit, jakou teplotu zrovna měříme. Jinak řečeno: objekty využívající termoelektrického jevu (tzv. termočlánky) můžeme používat jako teploměry.

Ovšem ne všechny termočlánky jsou identické. Každý typ termočlánku (respektive každá různá kombinace dvou kovů, z nichž je termočlánek vyroben) má jinou závislost napětí na rozdílu teplot. Proto pro každou kombinaci musí být změřena experimentálně a následně je pro ně určena ona závislost.

V této seminární práci si proto ukážeme a vysvětlíme metodu nejmenších čtverců, kterou následně aplikujeme na naměřená data závislosti termoelektrického napětí na teplotním rozdílu mezi oběma konci termočlánku.

## 2 Cíl práce

Cílem této seminární práce je osvětlit princip a použití metody nejmenších čtverců, převážně poté se zaměřením na speciální případ lineární regrese. Tato metoda bude následně použita pro výpočet parametru termočlánku z experimentálně získaných hodnot, která budou doprovázena odpovídajícím vyobrazením v tabulkách a grafech.

---

<sup>1</sup>známo také jako *fitování* dat z anglického „fit“

### 3 Současný stav řešení problematiky

#### 3.1 Proložení dat funkcí

Ve fyzikálních experimentech obvykle měříme veličiny, které jsou závislé na veličině jiné. Ta se během měření mění, což nám umožňuje pomocí měření obou veličin vysledovat vztah mezi závislou a nezávislou veličinou. Nezávislou veličinou velice často bývá čas, ale také jí může být např. teplota, síla, poloha a další.[1]

##### 3.1.1 Aproximace a interpolace

Při prokládání bodů funkcí se můžeme přiklonit k jedné ze dvou metod: k aproximaci, nebo interpolaci.

**Interpolace** je proces, kdy se snažíme nalézt funkci, která propojí všechny nám známé body. Nejjednodušší metodou, jak toho dosáhnout, je využít lineární interpolace, kdy každé dvě po sobě následující hodnoty propojíme přímkou. Můžeme se s ní setkat například při vytváření grafů v tabulkových editorech (např. MS Excel či LibreOffice Calc), kdy propojení bodů přímkou je obvykle výchozí možnost vykreslování grafů. Nevýhoda této metody je ovšem ostrost funkce, kdy sice je spojitá, ale není diferencovatelná na celém svém definičním oboru. Kvůli své ostrosti zároveň tato metoda mnohdy nepředstavuje reálný průběh původní funkce.

Tyto problémy řeší méně rozšířené metody, jakými jsou kupříkladu kvadratická interpolace či interpolace vyšším polynomem (příkladem může být známý a rozšířený Lagrangeův polynom). Ty zmenšují interpolační odchylky a díky definici polynomem jsou diferencovatelné na celé definičním oboru. Ovšem jsou také složitější na spočítání, jak už z pohledu matematiky, tak z pohledu výpočetního výkonu.

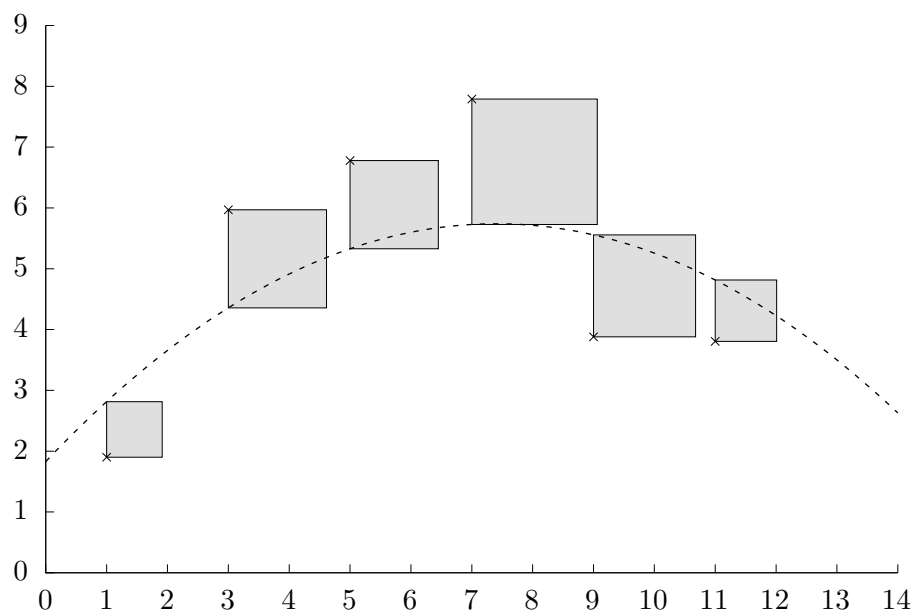
**Aproximace** se od interpolace liší v jednom zásadním aspektu: nevyžaduje, aby výsledná funkce procházela všemi body. To nám umožňuje najít o mnoho hladší funkce, které kopírují průběh dat, či získat neznámé parametry závislosti z dat, která mohou obsahovat chybu měření.

Z tohoto důvodu je aproximace vhodnější při prokládání experimentálně získaných dat funkcí a umožňujeme nám porovnat jednotlivé předpisy funkcí a jejich korelaci s daty.

##### 3.1.2 Metoda nejmenších čtverců

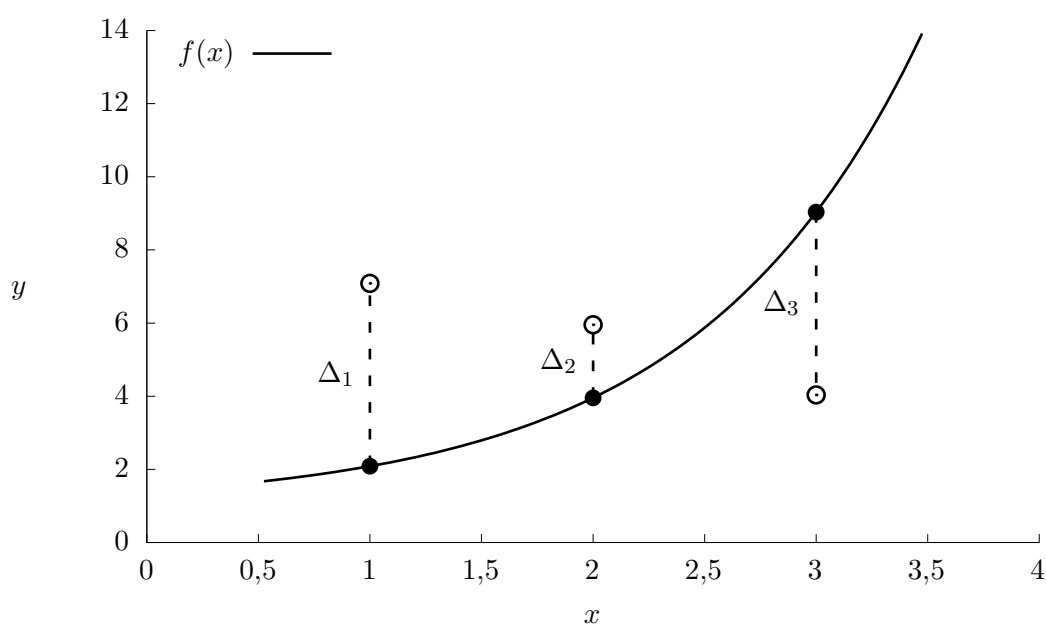
Při našich experimentech měříme velké množství dat a přirozeně chceme všechna z nich využít v aproximaci naší funkce, čehož právě metoda nejmenších čtverců dosahuje. Ta je založena na principu, kdy se snažíme minimalizovat součet čtverců odchylek mezi naměřenými daty a aproximovanou funkcí.

Označme si naši teoretickou funkci jako  $f(x)$ , ve které figurují kupříkladu tři neznámé označené jako  $a$ ,  $b$  a  $c$ . Do funkce  $f$  tak vstupuje proměnná  $x$  a neznámé  $a, b, c$ . Aproximace funkce pomocí metody nejmenších čtverců je tedy potom o najít ideální hodnoty  $a, b, c$  takové, aby právě součet čtverců odchylek.



Obr. 1: Ukázka metody nejmenších čtverců

Důležitou otázkou na zodpovězení je, proč vlastně se snažíme najít minimum sumy čtverců odchylek. Pokud máme obecný předpis funkce  $f(x)$ , tak víme, že po dosazení každé jedné naměřené hodnoty  $x_i$  bychom měli dostat výslednou hodnotu měření. Rozdíl mezi touto teoretickou hodnotou  $f(x_i)$  a ve skutečnosti naměřenou hodnotou  $y_i$  si označme jako  $\Delta_i = f(x_i) - y_i$ . Při aproximaci bychom tak mohli chtít jednoduše minimalizovat tyto jednotlivé rozdíly  $\Delta_i$ , neboli minimalizovat funkci  $\sum_{i=1}^n \Delta_i$ . Avšak tu není možné minimalizovat, protože minimum jakéhokoliv součtu je vždy  $-\infty$ . Abychom se tedy vyhnuli tomuto problému, sčítáme hodnoty rozdílů umocněné na druhou mocninu  $\sum_{i=1}^n \Delta_i^2$ , přičemž minimum této funkce se nachází v bodě 0.

Obr. 2: Ukázka rozdílů hodnot pro  $n = 3$

Obecně tedy můžeme metodu nejmenších čtverců vyjádřit jako hledání ideálních parametrů funkce  $f(x)$  pro minimalizace funkce  $S$ , pro kterou platí

$$S = \sum_{i=1}^n (y_i - f(x_i))^2. \quad (1)$$

Tento problém se řeší dvěma hlavními metodami: iterativně a analyticky.

**Iterativní řešení** je obecné, fungující pro každý předpis pracující na principu postupného iterování proměnných, kdy s každou iterací se funkce přibližuje správnému výsledku, dokud funkce nekonverguje. Jsou využívány pro řešení nelineárních problémů, které nejsem schopni analyticky řešit. Tato metoda je umožněna využitím optimalizovaných počítačových algoritmů, například pomocí Levenberg-Marquardtova algoritmu.

**Analytické řešení** funguje na principu nalezení minima pomocí parciálních derivací podle všech neznámých parametrů. Z těchto derivací následně vzniká soustava rovnic, kterou jsme schopni vyřešit. Je využívána pro řešení lineárních problémů, kdy můžeme naši rovnici zapsat pomocí polynomu  $n$ -tého řádu.

### 3.1.3 Lineární regrese

Speciální případ analytického řešení je lineární regrese. Jedná se o případ, kdy experimentálně získaná data prokládáme lineární funkcí s obecným předpisem

$$f(x) = ax + b.$$

V sekci 3.1.2 jsme si definovali rovnici (1), do které tento obecný lineární předpis můžeme dosadit a tím si vyjádřit rovnici sumy konkrétně pro lineární funkci:

$$S = \sum_{i=1}^n (y_i - ax_i - b)^2.$$

Abychom proložili data funkcí, musíme nalézt minimum funkce  $S$ . Toho dosáhneme pomocí položení derivace této funkce rovnou nule, respektive položením jednotlivých parciálních derivací rovných nule, protože se zde nachází dvě neznámé.

$$\begin{aligned} \frac{\partial S}{\partial a} &= -2 \sum_{i=1}^n x_i (y_i - ax_i - b) \\ -2 \sum_{i=1}^n x_i (y_i - ax_i - b) &= 0 \\ a \sum_{i=1}^n x_i + nb &= \sum_{i=1}^n y_i \end{aligned} \quad (2)$$

$$\begin{aligned} \frac{\partial S}{\partial b} &= -2 \sum_{i=1}^n (y_i - ax_i - b) \\ -2 \sum_{i=1}^n (y_i - ax_i - b) &= 0 \\ a \sum_{i=1}^n x_i + nb &= \sum_{i=1}^n y_i \end{aligned} \quad (3)$$

Po jednotlivém derivování funkce  $S$  podle  $a$  a  $b$  a upravení výrazů dostáváme dvě rovnice (2) a (3). Ty nám popisují onu lineární funkci již aproximujeme a  $a$  a  $b$  zde figurují jako proměnné. Ty



ovšem v tento moment neznáme, tedy efektivně to jsou v tomto případě neznámé. To znamená, že se jedná o soustavu dvou rovnic o dvou neznámých, což můžeme jednoduše pomocí dosazovací metody vyřešit pro  $a$ .

$$a \sum_{i=1}^n x_i + nb = \sum_{i=1}^n y_i \Rightarrow b = \frac{\sum_{i=1}^n y_i - a \sum_{i=1}^n x_i}{n} \quad (4)$$

$$a \sum_{i=1}^n x_i^2 + b \sum_{i=1}^n x_i = \sum_{i=1}^n x_i y_i \Rightarrow a \sum_{i=1}^n x_i^2 + \frac{\sum_{i=1}^n y_i - a \sum_{i=1}^n x_i}{n} \sum_{i=1}^n x_i = \sum_{i=1}^n x_i y_i$$

$$a = \frac{n \sum_{i=1}^n x_i y_i - \sum_{i=1}^n x_i \sum_{i=1}^n y_i}{n \sum_{i=1}^n x_i^2 - (\sum_{i=1}^n x_i)^2} \quad (5)$$

A protože máme rovnici (5) pro  $a$ , můžeme jí dosadit do dříve odvozené rovnice (4) pro  $b$ , čímž dostáváme řešení této soustavy pro obě neznáme v podobě rovností (5) a (6).

$$b = \frac{\sum_{i=1}^n y_i - a \sum_{i=1}^n x_i}{n}$$

$$b = \frac{\sum_{i=1}^n y_i - \frac{n \sum_{i=1}^n x_i y_i - \sum_{i=1}^n x_i \sum_{i=1}^n y_i}{n \sum_{i=1}^n x_i^2 - (\sum_{i=1}^n x_i)^2} \sum_{i=1}^n x_i}{n}$$

$$b = \frac{\sum_{i=1}^n x_i^2 \sum_{i=1}^n y_i - n \sum_{i=1}^n x_i y_i \sum_{i=1}^n x_i}{n \sum_{i=1}^n x_i^2 - (\sum_{i=1}^n x_i)^2} \quad (6)$$

## 3.2 Termoelektrický jev

### 3.2.1 Efekty termoelektrické jevu

Termoelektrický jev se vyznačuje přímou konverzí tepla na elektrické napětí a naopak. Objevuje se vždy u spojené dvojce různých kovů a ve své podstatě je sdružením třech efektů pod jeden název: efektu Seebecka, Peltierova, Thomsonova a Benedickova. [1, 2]

Termoelektrické napětí  $U$  vznikající mezi spoji, je závislé a funkcí rozdílu teplot  $\Delta T = T_1 - T_2$ . Je vyjádřeno pomocí funkce

$$U = \int_{T_1}^{T_2} (\alpha_B(T) - \alpha_A(T)) dT,$$

kde  $\alpha_A$  a  $\alpha_B$  jsou Seebeckovy koeficienty kovů A a B a  $T_1$  a  $T_2$  vyjadřují teploty spojů. Tento vztah ovšem může být za podmínky nízkých teplot převeden do lineární formy

$$U = (\alpha_A - \alpha_B) \cdot (T_2 - T_1),$$

$$U = \alpha \Delta T,$$

přičemž  $\alpha$  značí koeficient pro danou dvojici kovů (také označován jako parametr termočládku) a  $\Delta T$  je rozdíl teplot konců. [2]

**Seebeckův efekt** byl poprvé objeven německým fyzikem Thomasem Johannem Seebeckem a popisuje vlastnost termočlánu, která má za příčinu vytváření elektrického napětí na základě rozdílu teplot. Jestliže jeden spoj termočlánu začneme zahřívat a druhý naopak ochlazovat, vznikne na každém konci jiný potenciál, což má za důvod vzniku termoelektrického napětí. [3]

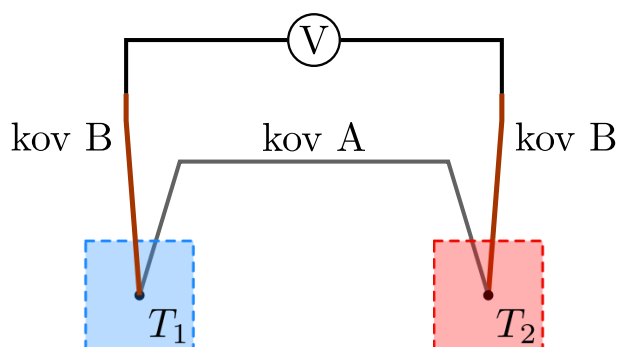
**Peltierův efekt** je považován za přesným opak efektu Seebeckova. Byl objeven Jeanem Peltierem v roce 1834 a dokazuje, že při změně potenciálů, tedy protékání proudu, může způsobit změnu teplot. To implikuje přenos tepla z jednoho konce na druhý, což může být využito například pro chlazení předmětu bez nutnosti jakýchkoliv pohybujících se součástí. [4]

**Thomsonův efekt** je třetí a poslední efekt v rámci termoelektrického jevu. Popisuje vlastnost vodiče při zahřívání jednoho z jeho konců. Při zahřívání vodiče na jednom konci vzniká uvnitř materiálu teplotní gradient  $\Delta T/\Delta l$ , což vytváří mezi konci malé termoelektrické napětí. Je tím tedy velice podobný Seebeckovu efektu, ovšem zde se jedná pouze o jeden vodič namísto dvou různých kovů. [5]

**Benedickův efekt** pojednává o vzniku velice malého rozdílu potenciálů na koncích vodiče i v případě, že oba konce mají stejnou teplotu. Aby tak ale nastalo musí ve vodiči existovat teplotní gradient, jenž tento rozdíl potenciálů způsobí. [2]

### 3.2.2 Termočlánu

Jako termočlánu nazýváme zařízení, které se skládá ze dvou, spolu spojených, druhů kovu. Ty svým spojením vytvářejí elektrický obvod. Jestliže budeme zahřívat jeden spoj kovů a ochlazovat druhý, můžeme pozorovat v tomto obvodu napětí, a tedy i proud, důsledkem termoelektrického jevu. Toto napětí je ale velice malé řádově v milivoltech.



Obr. 3: Příklad zapojení termočlánu

Různé kombinace materiálů mají různé parametry pro vytvoření termoelektrického napětí. Teoretickou hodnotu měřeného napětí můžeme zjistit z termoelektrických potenciálů daných vodičů. Příklad takových hodnot je uveden v tabulce 1.

Samozřejmě některé kombinace kovů jsou efektivnější než ostatní, proto byl vytvořen standard *IEC 584*, což je mezinárodní standard popisující různé efektivní kombinace prvků a slitin (viz. tabulka 2).

Materiál	$\frac{\varphi}{\text{mV}}$	Materiál	$\frac{\varphi}{\text{mV}}$	Materiál	$\frac{\varphi}{\text{mV}}$
křemík	+45	rhodium	+0,65	tuha	+0,2
antimon	+4,7	iridium	+0,65	rtuť	0,0
železo	1,8	manganin	+0,6	platina	0,0
molybden	+1,2	tantal	+0,5	sodík	-0,2
kadmium	0,9	cesium	+0,5	palladium	-0,3
wolfram	+0,8	cín	+0,45	draslík	-0,9
měď	+0,75	olovo	+0,45	nikl	-1,5
zlato	+0,7	hořčík	+0,4	kobalt	-1,6
stříbro	+0,7	hliník	+0,4	konstantan	-3,4
zinek	+0,7	grafit	+0,3	vismut	-7

Tab. 1: Hodnoty termoelektrického potenciálu při rozdílu teplot 100 °C. [6]

Označení typu	Materiál	Teplotní rozsah v °C
T	měď a konstantan (CuNi)	-200 – 350
J	železo a konstantan (CuNi)	-200 – 750
E	chromel (NiCr) a konstantan (CuNi)	-100 – 900
K	chromel (NiCr) a alumen (NiAl)	-200 – 1 200
N	nicrosil (NiCrSi) a nisil (NiSi)	-200 – 1 200
S	platina a slitina platiny a 10 % rhodia	0 – 1 600
R	platina a slitina platiny a 13 % rhodia	0 – 1 600
B	slitina platiny a 30 % rhodia a slitina platiny a 6 % rhodia	300 – 1 700

Tab. 2: Typy termočlánků a jejich označení dle standartu *IEC 584*. [2, 7]

### 3.3 Experiment

Jak název této seminární práce napovídá, naším konečným cílem je stanovení parametru  $\alpha$  termočlánu. A toho nedosáhneme žádnou jinou cestou, než experimentem. Konkrétně v našem případě se bude jednat o měření parametru termočlánu typu T.

#### 3.3.1 Princip měření

Experiment spočívá na ochlazování jednoho a ohřívání druhého konce termočlánek<sup>2</sup>. Toho docílíme ponořením prvního spoje do vody s ledem (kde udržujeme zhruba 0°C) a druhého do vařící vody. Ta se během experimentu ochlazuje kvůli předávání tepla do okolí. Toho mi využijeme a pozorujeme pomocí milivoltmetru, jak se napětí na termočlánu mění v závislosti na rozdílu teplot vody s ledem a teplé vody.

#### 3.3.2 Sestavení termočlánu

Abychom mohli náš termočlánek měřit, musíme jej nejdříve sestavit. Protože se jedná o typ T, budeme jej vytvářet z mědi a konstantanu. Stavbu termočlánu jsem zahájil zaizolováním obou drátů pro ochranu mimo místa, kde to výslovně nechceme.

Následně jsme si připravili dřevěnou desku, na které celá konstrukce drží. Vyvrtali jsme do ní díry v pravidelných intervalech a do krajních děr upevnili konektory sloužící pro následné připojení termočlánu k měřidlu. Zaizolovaný drát konstantanu jsme protáhli skrze dříve vyvrtanými dírami a přizpůsobili jsme délku drátu. Konce konstantanu jsme odizolovali a připravili k následnému připojení k mědi.

Připravený drát mědi jsme rozdělili tak, abychom dostali dva kusy, které mají ideální délku na spojení konců konstantanového vodiče a připravených konektorů. Konce těchto dvou drátů jsme odizolovali, uchytili je v koncovkách a druhý konec zakroutili s odizolovanými konci konstantanu<sup>3</sup>.

Konce pevně zakroucené do sebe jsme zaizolovali smršťovací bužírkou pro ochranu před okolím<sup>4</sup>.

Jako poslední jsme zasunuli vodiče do plastových trubiček a ty připevnili pomocí kobercové pásky k desce.

#### 3.3.3 Aparatura a průběh experimentu

Na provedení samotného experimentu je zapotřebí termočlánu, termosky či jinak tepelně izolované nádoby, kádinky, ledu, dvou teploměrů, milivoltmetru a způsobu ohřevu vody. V našem případě se jednalo o rychlovarnou konvici.

Aby byl termočlánek stabilní a statický, opevnili jsme jej na stojan a to do takové výšky, aby konce termočlánu se spoji kovů pohodlně dosáhli do kádinky a termosky. Na stojany jsme také připevnili oba teploměry, jeden směřující do kádinky a druhý do termosky, abychom mohli

---

<sup>2</sup>Místa se spoji kovů

<sup>3</sup>Při spojování mědi a konstantanu si musíme dát pozor na to, abychom se vyhnuli potřebě pájet. To by totiž přidalo do zařízení další kov a ovlivnilo výsledky.

<sup>4</sup>Toto můžeme provést, protože budeme tyto spoje ovlivňovat teplotou, před čímž kousek plastu moc dobře neizoluje a stejně by získal teplotu okolí.

během experimentu pozorovat teplotní rozdíl. V neposlední řadě jsme připojili k termočláнку milivoltmetr pro měření napětí na termočláнку.

Do termosky jsme nalili vodu, přidali do ní led a vyčkali, dokud se teplota neustálila (výsledná teplota by se měla pohybovat okolo  $0^{\circ}\text{C}$ ). Následně jsme nalili horkou, až vařící, vodu do kádinky a započali měření. Při klesání rozdílu jsme pravidelně odečítali hodnoty obou teploměrů a milivoltmetru do momentu, než se teplota teplé vody neustálila na pokojové teplotě, kdy se již rozdíl teplot kádinky a termosky více neměnil.

## **4 Výsledky**

### **4.1 Naměřená data**

### **4.2 Výpočet parametru**

### **4.3 Odchyly měření**

### **4.4 Diskuze**

## **5 Závěr**

## 6 Souhrn (Resumé)

**Klíčová slova** aproximace, interpolace, metoda nejmenších čtverců, termoelektrický jev, Seebeckův jev, Peltierův jev, termočlánek

**Key words** approximation, interpolation, least squares method, thermoelectric effect, Seebeck effect, Peltier effect, thermocouple

## 7 Seznam použité literatury

1. KUMBÁR, Vojtěch; BARTOŇ, Stanislav; KŘIVÁNEK, Ivo. *Fyzikální praktikum*. Brno: Mendelova Univerzita, 2015. ISBN 978-80-7509-335-6.
2. MEJZLÍK, Michal. *Návrh a tvorba laboratorní úlohy s peltierovým článkem*. 2009. Dostupné z: [https://www.vutbr.cz/www\\_base/zav\\_prace\\_soubor\\_verejne.php?file\\_id=15693](https://www.vutbr.cz/www_base/zav_prace_soubor_verejne.php?file_id=15693). Diplomová práce. FEKT VUT. Vedoucí práce Ing. Jan MACHÁČEK.
3. REICHL, Jaroslav. *Seebeckův jev*. Dostupné z: <http://fyzika.jreichl.com/main.article/view/910-seebeckuv-jev>.
4. *The Peltier Effect and Thermoelectric Cooling*. Dostupné z: [http://ffden-2.phys.uaf.edu/212\\_spring2007.web.dir/sedona\\_price/phys\\_212\\_webproj\\_peltier.html](http://ffden-2.phys.uaf.edu/212_spring2007.web.dir/sedona_price/phys_212_webproj_peltier.html).
5. REICHL, Jaroslav. *Thomsonův jev*. Dostupné z: <http://fyzika.jreichl.com/main.article/view/912-thomsonuv-jev>.
6. BARTOŇ, Stanislav; KŘIVÁNEK, Ivo; SEVERA, Libor. *Fyzika – Laboratorní cvičení*. Brno, 2005.
7. *Thermocouple base materials acc to IEC 584*. Dostupné z: [http://www.nanyange.com.tw/driver/drivers/Technical%20Information\\_02.pdf](http://www.nanyange.com.tw/driver/drivers/Technical%20Information_02.pdf).

## 8 Přílohy

### 8.1 Seznam obrázků

1	Ukázka metody nejmenších čtverců . . . . .	7
2	Ukázka rozdílů hodnot pro $n = 3$ . . . . .	7
3	Příklad zapojení termočlánku . . . . .	10

### 8.2 Seznam tabulek

1	Hodnoty termoelektrického potenciálu při rozdílu teplot 100 °C. [6] . . . . .	11
2	Typy termočlánků a jejich označení dle standartu IEC 584. [2, 7] . . . . .	11